



中国科学院大学

University of Chinese Academy of Sciences

# Lecture 2

## 确知信号分析



中国科学院大学

University of Chinese Academy of Sciences

1

信号和信号分析

2

信号的内积运算和正交分解

3

确知信号的频域分析

4

确知信号通过LTI系统

目录  
Contents





中国科学院大学

University of Chinese Academy of Sciences

1

信号和信号分析

2

信号的内积运算和正交分解

3

确知信号的频域分析

4

确知信号通过LTI系统

目录  
Contents

# 信号

---

- 信号是信息的载体，表现为变化的物理量
- 信号中所包含的信息总是寄寓在某种形式的变换波形之中
  - ✓ 存在与否
  - ✓ 形状参数—幅度、频率、到达时间等
  - ✓ 两个信号之间的关系—输入输出之间等
- 数学上，可表示为一个或多个变量的函数



# 信号（处理）

---

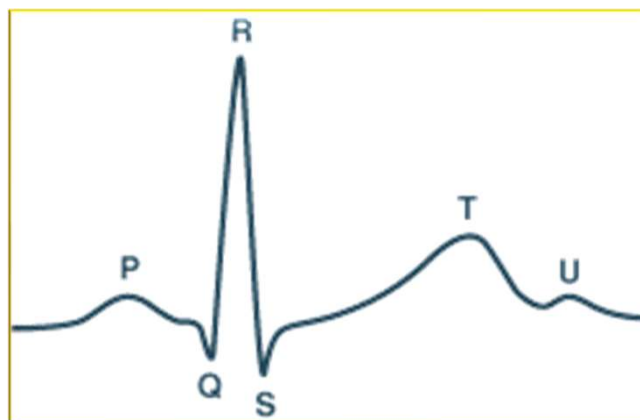
- 信号处理，就是分析、操作物理量以及物理量的测量值的过程，达到发送、传输、获得信息，或者使信息更明确的过程
- 例如：
  - ✓ 放大
  - ✓ 叠加两个信号
  - ✓ 滤波
  - ✓ 分析信号参数如幅度、频率等
  - ✓ 人脸识别
  - ✓ 三维成像





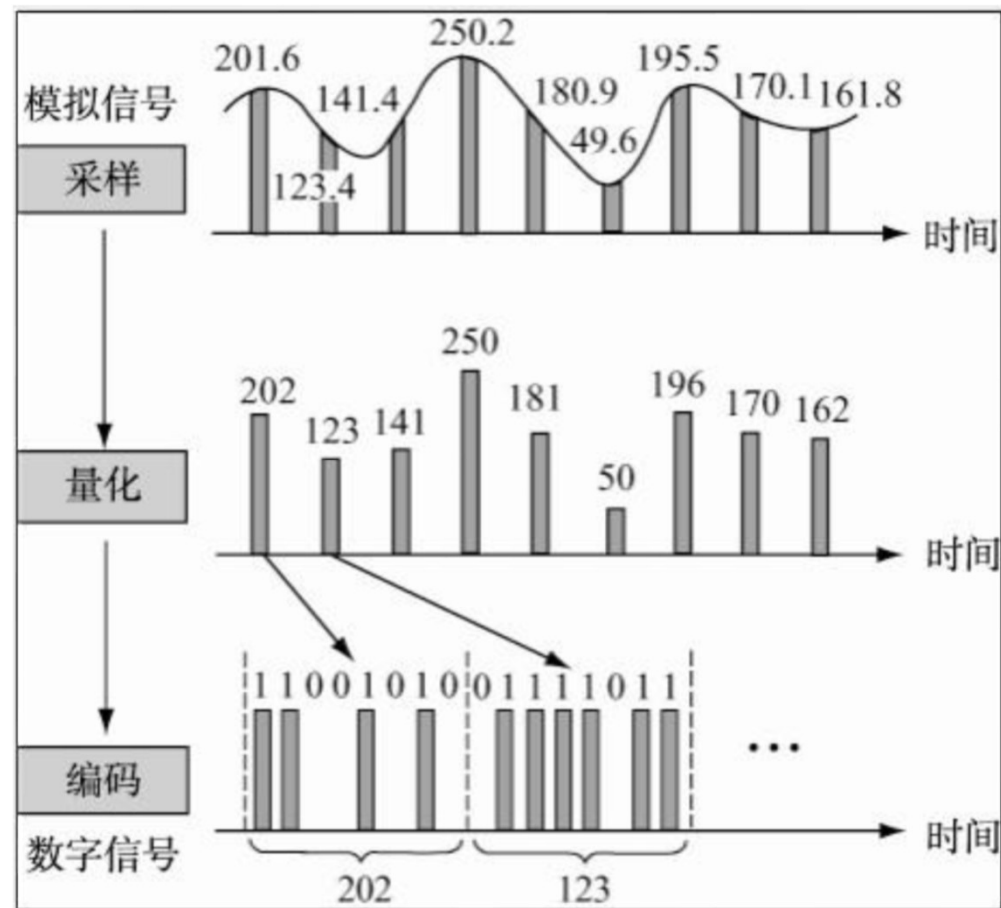
## Electrocardiogram(ECG)

- 心脏细胞充放电，促使心肌收缩和恢复
- 心脏细胞的电荷改变，在体表形成的电场
- 找两个位置采集这个电压差，就得到心电
- 信号携带的信息，就是它所反映的心脏的各种状态和功能好坏



# 信号分类

- 确知信号/随机信号
- 周期信号/非周期信号
- 模拟信号/数字信号
- 能量信号/功率信号



# 确知信号分析

---

- 信号分析方法：以基本信号之和或积分表示各种复杂信号，以对其性质及其对系统的作用进行分析研究。
- 频域分析法：正弦信号作为基本信号。
- 时域分析法：冲激函数 $\delta(t)$ 作为基本信号。







中国科学院大学

University of Chinese Academy of Sciences

1

信号和信号分析

2

信号的内积运算和正交分解

3

确知信号的频域分析

4

确知信号通过LTI系统

目录  
Contents

# 定义

**线性空间**：设 $X$ 为一非空集合，若在 $X$ 中规定了元素的**加法**和元素的**数乘**运算，并满足相应的**结合律**及**分配律**，则称 $X$ 为一线性空间

**$N$ 维实数空间 $\mathbf{R}^N$**

$$\mathbf{x} = (x_1, x_2, \dots, x_N)^T \quad x_i \in \mathbf{R} \quad i=1,2,\dots,N$$
$$\mathbf{x} + \mathbf{y} = (x_1 + y_1, x_2 + y_2, \dots, x_N + y_N)^T$$
$$a\mathbf{x} = (ax_1, ax_2, \dots, ax_N)^T$$

如果上述定义中实数改为复数，则构成**复数空间 $\mathbf{C}^N$**

**连续函数空间 $L$** ：在区间 $[a,b]$ 上全部连续函数的集合构成该空间



# 范数

设 $X$ 为一线性空间，若对于任意 $x \in X$ ，有一个确定的非负实数 $\|x\|$ 与它对应，并满足

$$(1) \forall x \in X, \|x\| \geq 0, \text{ 当且仅当 } x=0, \|x\|=0$$

$$(2) \forall x \in X \text{ 及 } a \in R, \|ax\| = |a| \cdot \|x\|$$

$$(3) \|x+y\| \leq \|x\| + \|y\|$$

则称 $\|x\|$ 为 $X$ 的范数， $X$ 为线性赋范空间。



# $\mathbf{R}^N$ 与 $\mathbf{C}^N$ 空间的范数

令  $p$  为实数,  $1 \leq p < \infty$ , 在  $\mathbf{R}^N$  或  $\mathbf{C}^N$  空间元素  $\mathbf{x}=(x_1, x_2, \dots, x_N)$  的  $p$  阶范数定义为

$$\|\mathbf{x}\|_p \stackrel{\text{def}}{=} \begin{cases} \left[ \sum_{i=1}^N |x_i|^p \right]^{\frac{1}{p}} & 1 \leq p < \infty \\ \max_{1 \leq i \leq N} |x_i| & p \rightarrow \infty \end{cases}$$

最常用的范数为  $\|\cdot\|_1$ ,  $\|\cdot\|_2$ ,  $\|\cdot\|_\infty$

在  $\mathbf{R}^2$  或  $\mathbf{R}^3$  中, 二阶范数的物理意义是矢量的长度;  
 $\|\mathbf{x}\|_2$  也称为欧氏范数或欧氏距。





# 连续时间信号空间 $L$ 空间中的范数

连续时间信号空间  $L$  中，元素  $\mathbf{x}$  的  $p$  阶范数  $\|\mathbf{x}\|_p$  的定义

$$\|\mathbf{x}\|_p = \begin{cases} \left[ \int_{-\infty}^{\infty} |\mathbf{x}(t)|^p dt \right]^{\frac{1}{p}} & 1 \leq p < \infty \\ \sup |\mathbf{x}(t)| & p = \infty \end{cases}$$

$\mathbf{x}(t)$  的上确界

1-范数

$$\|\mathbf{x}\|_1 = \int_{-\infty}^{\infty} |\mathbf{x}(t)| dt \quad \mathbf{x} \in L$$

1-范数表示  
信号作用的强度

2-范数

$$\|\mathbf{x}\|_2 = \left[ \int_{-\infty}^{\infty} |\mathbf{x}(t)|^2 dt \right]^{\frac{1}{2}}, \text{ 即 } \|\mathbf{x}\|_2^2 = \int_{-\infty}^{\infty} |\mathbf{x}(t)|^2 dt, \quad \mathbf{x} \in L$$

2-范数的平方表示信号的能量

$U$  或  $I$  在单位电阻  
上消耗的能量

$\infty$ -范数

$$\|\mathbf{x}\|_{\infty} = \sup |\mathbf{x}(t)|, \quad \mathbf{x} \in L$$

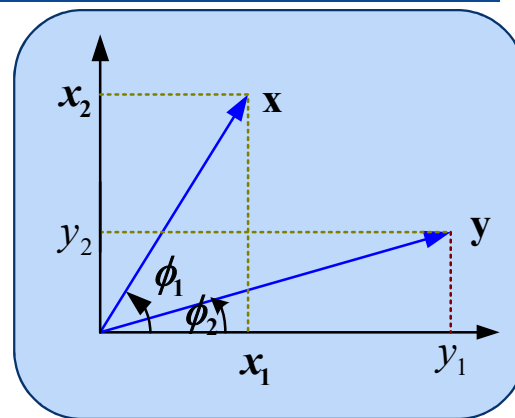
定义在闭区间的  $\mathbf{x}$ ,  $\|\mathbf{x}\|_{\infty}$   
表示信号的峰值

# 内积

内积的概念反映了元素之间的关系，在时域信号中则反映了信号之间的相互关系，如正交、相关

## 二维矢量空间中

直角坐标平面内两矢量相对位置关系



$$\cos(\phi_1 - \phi_2) = \cos \phi_1 \cos \phi_2 + \sin \phi_1 \sin \phi_2$$

$$= \frac{x_1}{(x_1^2 + x_2^2)^{\frac{1}{2}}} \cdot \frac{y_1}{(y_1^2 + y_2^2)^{\frac{1}{2}}} + \frac{x_2}{(x_1^2 + x_2^2)^{\frac{1}{2}}} \cdot \frac{y_2}{(y_1^2 + y_2^2)^{\frac{1}{2}}} = \frac{x_1 y_1 + x_2 y_2}{\|x\|_2 \cdot \|y\|_2}$$



# 内积

二维矢量空间的内积(点积)运算

$$\mathbf{x}_1 y_1 + \mathbf{x}_2 y_2 = \|\mathbf{x}\|_2 \|\mathbf{y}\|_2 \cos(\phi_1 - \phi_2)$$

给定了的矢量长度，标量乘积式反映了两矢量之间相对位置的“校准”情况：

$\cos(\phi_1 - \phi_2) = 0$ , 两矢量之夹角为  $90^\circ$ , 标量乘积为零

$\cos(\phi_1 - \phi_2) = 1$ , 两矢量夹角为  $0^\circ$ , 标量乘积取最大值  $|\langle \mathbf{x}, \mathbf{y} \rangle|^2 \leq \langle \mathbf{x}, \mathbf{x} \rangle \langle \mathbf{y}, \mathbf{y} \rangle$

Cauchy-Schwarz

多维  $\langle \mathbf{x}, \mathbf{y} \rangle = \sum_{i=1}^N x_i y_i$

$N$ 维实线性空间

$$\langle \mathbf{x}, \mathbf{y} \rangle = \sum_{i=1}^N x_i y_i^*$$

$N$ 维复线性空间



中国科学院大学  
University of Chinese Academy of Sciences

# 连续函数空间的内积

---

信号空间 $L$ 内的两连续信号的内积

$$\langle \mathbf{x}, \mathbf{y} \rangle = \int_{-\infty}^{\infty} \mathbf{x}(t) \mathbf{y}(t)^* dt$$

对于 $L$ ，信号 $\mathbf{x}$ 与其自身的内积运算

$$\langle \mathbf{x}, \mathbf{x} \rangle = \int_{-\infty}^{\infty} |\mathbf{x}(t)|^2 dt = \|\mathbf{x}\|_2^2$$





# 矢量的正交分解

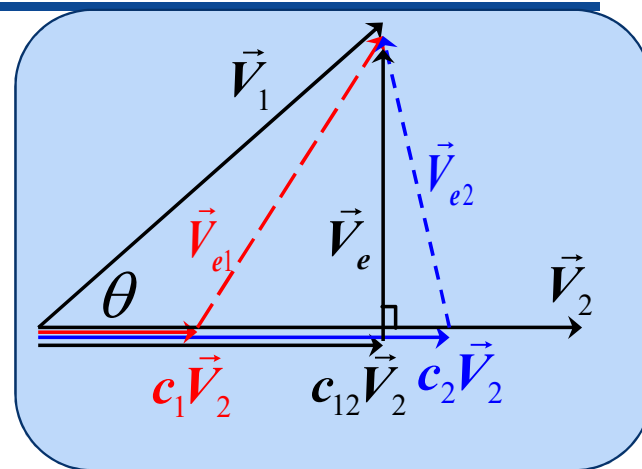
二维矢量空间的矢量 $\vec{V}_1$ 和 $\vec{V}_2$

$\vec{V}_1$ 用 $\vec{V}_2$ 表示, 方式不唯一:

$$\vec{V}_1 = c_1 \vec{V}_2 + \vec{V}_{e1} = c_2 \vec{V}_2 + \vec{V}_{e2} = c_{12} \vec{V}_2 + \vec{V}_e$$

最小的误差分量:

$$\vec{V}_e \perp \vec{V}_2 \quad \vec{V}_1 = c_{12} \vec{V}_2 + \vec{V}_e$$



$$c_{12} V_2 = V_1 \cos \theta = \frac{V_1 V_2 \cos \theta}{V_2} = \frac{\langle \vec{V}_1, \vec{V}_2 \rangle}{V_2}, \quad c_{12} = \frac{\langle \vec{V}_1, \vec{V}_2 \rangle}{\langle \vec{V}_2, \vec{V}_2 \rangle}$$

当 $\theta=0$ ,  $c_{12}=1$ ,  $\vec{V}_1$ 、 $\vec{V}_2$  完全重合;

随 $\theta$ 增大,  $c_{12}$  减小;

当 $\theta=90^\circ$ ,  $c_{12}=0$ ,  $\vec{V}_1$ 和 $\vec{V}_2$ 垂直。

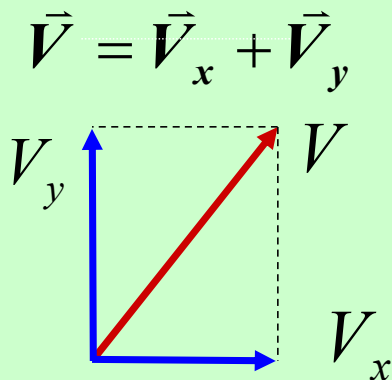
$c_{12}$ 表示 $\vec{V}_1$ 和 $\vec{V}_2$ 互相接近的程度



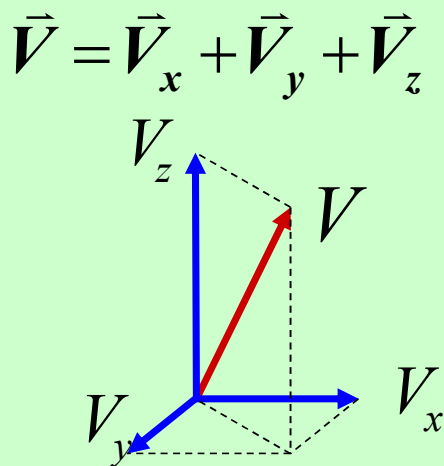
中国科学院大学  
University of Chinese Academy of Sciences

# 矢量的正交分解

二维正交集



三维正交集



- 平面中任一矢量可分解为 $x, y$ 二方向矢量。
- 空间中任一矢量可分解为 $x, y, z$ 三方向矢量。
- 一个三维空间矢量  $\vec{V} = x\vec{i} + y\vec{j} + z\vec{k}$ ，必须用三个正交的矢量来表示，如果用二维矢量表示就会出现误差：

$$\vec{V} \approx x\vec{i} + y\vec{j}, \quad \vec{V}_e = z\vec{k} \neq 0$$



中国科学院大学  
University of Chinese Academy of Sciences

# 正交函数

假设在区间  $(t_1, t_2)$  内用函数  $f_2(t)$  近似表示  $f_1(t)$

$$f_1(t) \approx c_{12} f_2(t) \quad (t_1 < t < t_2)$$

分解原则：均方误差最小，即误差信号功率(能量)最小

均方误差 
$$\overline{\varepsilon^2} = \frac{1}{(t_2 - t_1)} \int_{t_1}^{t_2} [f_1(t) - c_{12} f_2(t)]^2 dt$$

为求得使  $\overline{\varepsilon^2}$  最小的  $c_{12}$  值，需使  $\frac{d\overline{\varepsilon^2}}{dc_{12}} = 0$

$$\frac{d}{dc_{12}} \left\{ \int_{t_1}^{t_2} [f_1(t) - c_{12} f_2(t)]^2 dt \right\} = 0$$



# 正交函数

$$\int_{t_1}^{t_2} \frac{d}{dc_{12}} f_1^2(t) dt - 2 \int_{t_1}^{t_2} f_1(t) f_2(t) dt + 2c_{12} \int_{t_1}^{t_2} f_2^2(t) dt = 0$$

解得 
$$c_{12} = \frac{\int_{t_1}^{t_2} f_1(t) f_2(t) dt}{\int_{t_1}^{t_2} f_2^2(t) dt} = \frac{\langle f_1(t), f_2(t) \rangle}{\langle f_2(t), f_2(t) \rangle}$$

若  $c_{12}$  为零，则  $f_1(t)$  不包含  $f_2(t)$  的分量，称  $f_1(t)$ 、 $f_2(t)$  为 **正交**

$$\int_{t_1}^{t_2} f_1(t) f_2(t) dt = 0$$







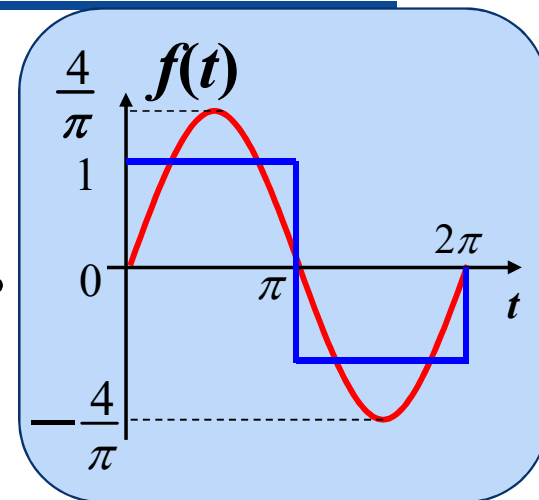
$$f(t) = \begin{cases} 1 & (0 < t < \pi) \\ -1 & (\pi < t < 2\pi) \end{cases}$$

试用  $\sin t$  在区间  $(0, 2\pi)$  近似表示  $f(t)$ , 使均方误差最小。

解: 函数  $f(t)$  在区间  $(0, 2\pi)$  内近似为

$$f(t) \approx c_{12} \sin t$$

$$c_{12} = \frac{\int_0^{2\pi} f(t) \sin t \, dt}{\int_0^{2\pi} \sin^2 t \, dt} = \frac{1}{\pi} \left[ \int_0^{\pi} \sin t \, dt - \int_{\pi}^{2\pi} \sin t \, dt \right] = \frac{4}{\pi} \Rightarrow f(t) \approx \frac{4}{\pi} \sin t$$



# 正交函数集(orthogonal function set)

$n$ 个函数  $g_1(t), g_2(t), \dots, g_n(t)$  构成一函数集, 如在区间  $(t_1, t_2)$  内满足正交特性, 即

$$\int_{t_1}^{t_2} g_i(t) g_j(t) dt = \begin{cases} 0 & (i \neq j) \\ K_i & (i = j) \end{cases}$$

则此函数集称为正交函数集。

归一化正交函数集:  $\int_{t_1}^{t_2} g_i^2(t) dt = 1$   
orthonormal set



# 正交函数分解

$$f(t) \approx c_1 g_1(t) + c_2 g_2(t) + \cdots + c_n g_n(t) = \sum_{r=1}^n c_r g_r(t)$$

均方误差

$$\overline{\varepsilon^2} = \frac{1}{t_2 - t_1} \int_{t_1}^{t_2} \left[ f(t) - \sum_{r=1}^n c_r g_r(t) \right]^2 dt$$

对于系数  $c_r$ ，要使  $\overline{\varepsilon^2}$  最小，需满足  $\frac{\partial \overline{\varepsilon^2}}{\partial c_r} = 0$

$$c_r = \frac{\int_{t_1}^{t_2} f(t) g_r(t) dt}{\int_{t_1}^{t_2} g_r^2(t) dt} = \frac{1}{K_r} \int_{t_1}^{t_2} f(t) g_r(t) dt = \int_{t_1}^{t_2} f(t) g_r(t) dt$$

归一化正  
交函数集



# 复变函数的正交特性

$$f_1(t) \approx c_{12} f_2(t) \quad c_{12} = \frac{\int_{t_1}^{t_2} f_1(t) f_2^*(t) dt}{\int_{t_1}^{t_2} f_2(t) f_2^*(t) dt}$$

两复变函数在区间  $(t_1, t_2)$  的正交的条件是

$$\int_{t_1}^{t_2} f_1(t) f_2^*(t) dt = \int_{t_1}^{t_2} f_1^*(t) f_2(t) dt = 0$$

复变函数集  $\{g_r(t)\} (i=1,2,\dots,n)$  为正交函数集满足

$$\int_{t_1}^{t_2} g_i(t) g_j^*(t) dt = \begin{cases} 0 & (i \neq j) \\ K_i & (i = j) \end{cases}$$





# 完备正交函数集

用正交函数集  $\{g_i(t)\}$  ( $i=1,2,\dots,n$ ) 在  $(t_1, t_2)$  近似表示  $f(t)$

$$f(t) \approx \sum_{r=1}^n c_r g_r(t)$$

$$\overline{\varepsilon^2} = \frac{1}{t_2 - t_1} \left[ \int_{t_1}^{t_2} f^2(t) dt - \sum_{r=1}^n c_r^2 K_r \right]$$

若  $\lim_{n \rightarrow \infty} \overline{\varepsilon^2} = 0$ , 此函数集称为 **完备(complete)** 正交函数集.

$f(t) = \sum_{r=1}^{\infty} c_r g_r(t)$  称为 **广义傅立叶级数展开**  
(generalized Fourier series)



# 帕塞瓦尔定理(Parseval's theorem)

$$\int_{t_1}^{t_2} f^2(t) dt = \sum_{r=1}^{\infty} C_r^2 \int_{t_1}^{t_2} g_r^2(t) dt = \sum_{r=1}^{\infty} \int_{t_1}^{t_2} [C_r g_r(t)]^2 dt = \sum_{r=1}^{\infty} c_r^2$$

信号的  
能量

基底信号  
的能量

各信号分量  
的能量

**物理意义：**

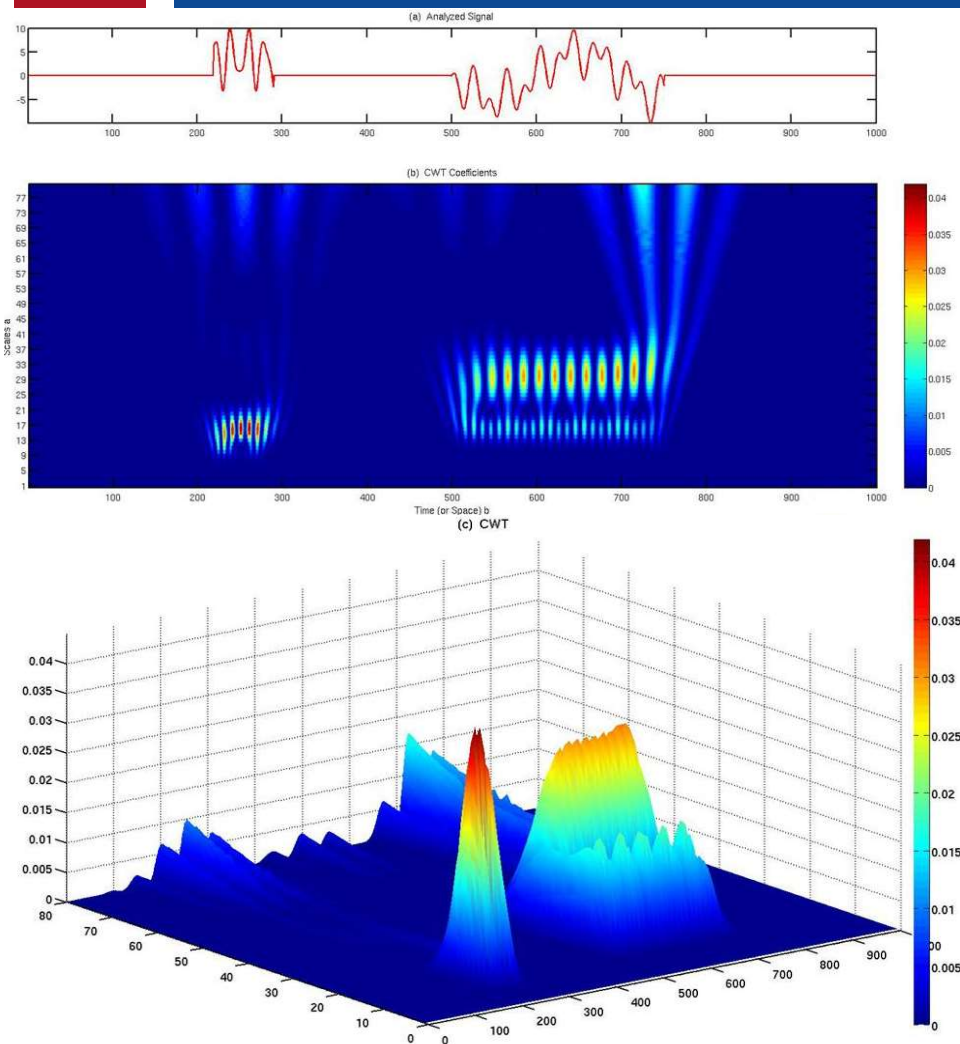
一个信号所含有的能量(功率)恒等于此信号在完备正交函数集中各分量能量(功率)之和。

**数学本质：** 矢量空间信号正交变换的范数不变性。



中国科学院大学  
University of Chinese Academy of Sciences

# CWT



$$WT_x(a, b) = \frac{1}{\sqrt{a}} \int_{-\infty}^{\infty} f(t) \psi\left(\frac{t-b}{a}\right) dt$$

- 一维连续信号**CWT**结果为尺度-平移平面的二维连续曲面；
- 尺度参数、平移参数连续变化；
- 小尺度上的小波系数反映高频细节，平移轴分辨率高，定位准确率高；
- 大尺度上的小波系数反映低频细节，平移轴分辨率低，定位准确率低。





中国科学院大学

University of Chinese Academy of Sciences

1

信号和信号分析

2

信号的内积运算和正交分解

3

确知信号的频域分析

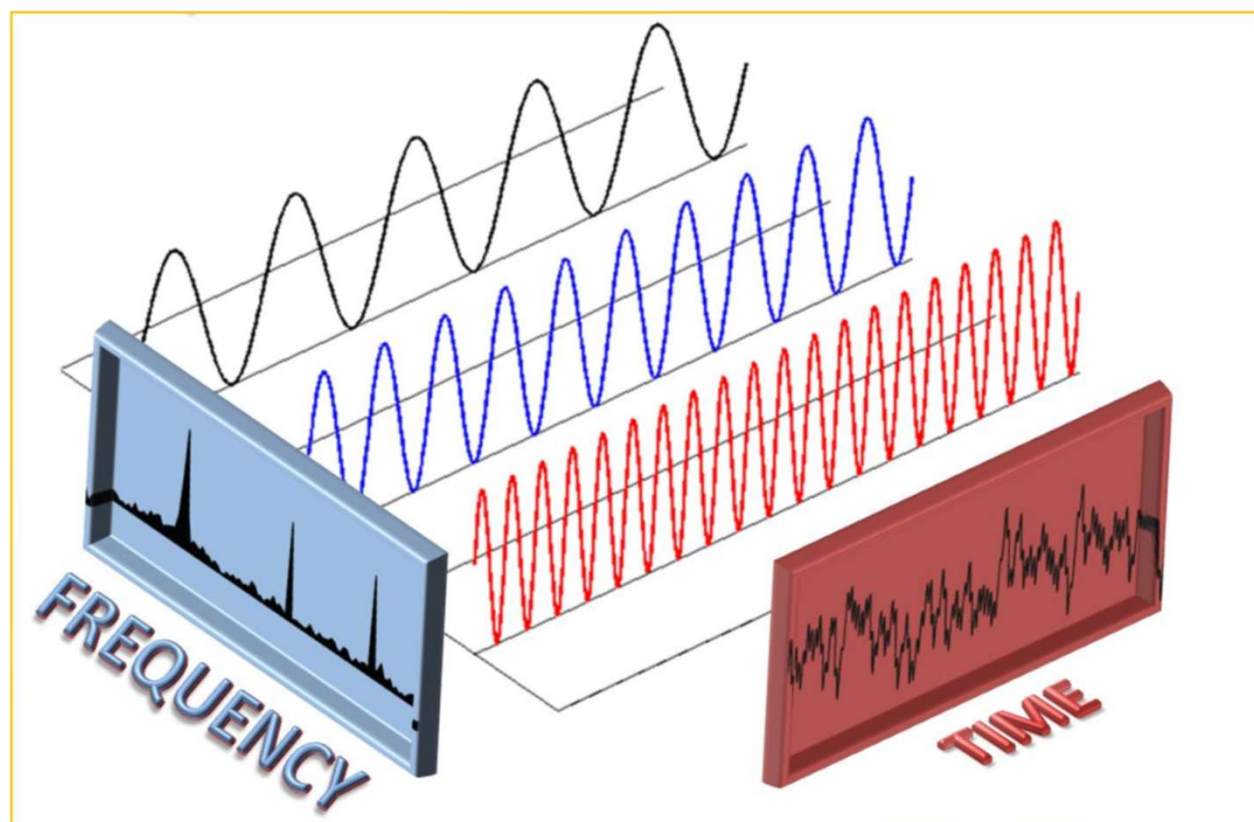
4

确知信号通过LTI系统

目录  
Contents

# 频域分析

- 把信号表示为一组不同频率的虚指数信号或正弦信号的加权和，并着重讨论权重与频率的关系



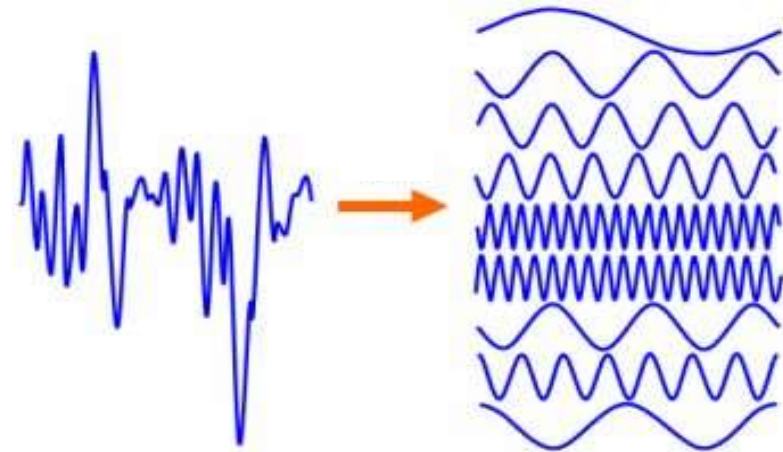
- 傅里叶级数
- 傅里叶变换
- 信号采样





# 频域分析

- 现实世界很多信号具有周期性，甚至是正弦变化的如电磁波、声波、光、热辐射、震动、股价等
- 很多系统对于物理量的作用，与物理量的变化快慢有关，如电阻、电容、电感对电压电流变化的反应——不同频率有不同衰减



中国科学院大学  
University of Chinese Academy of Sciences



# 周期信号的傅里叶级数

$\{e^{jn\omega t}\}_{n=-\infty}^{\infty} = \{\phi_n(t)\}_{n=-\infty}^{\infty}$  是完备正交集,  $\omega = \frac{2\pi}{T}$

$$\langle \phi_i(t), \phi_j(t) \rangle = \int_{t_0}^{t_0+T} \phi_i^*(t) \phi_j(t) dt = T \delta_{ij}$$

$$f(t) = \sum_{n=-\infty}^{\infty} F_n e^{jn\omega t}$$

其中:

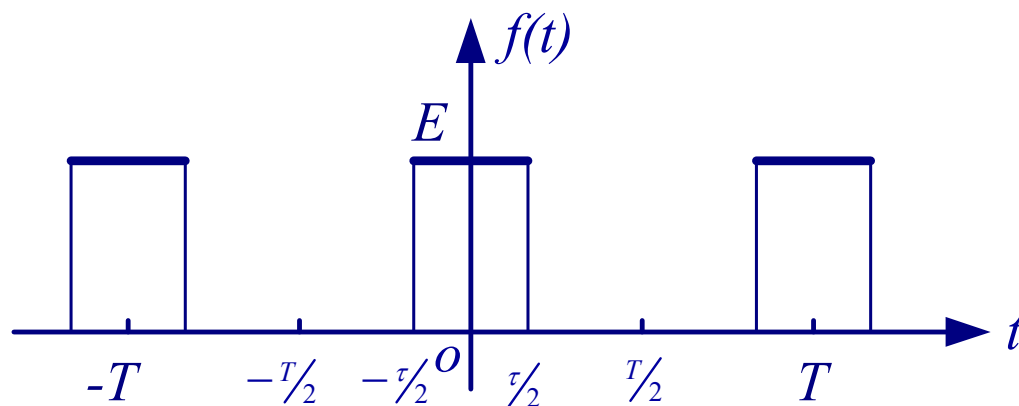
$$F_n = \frac{\langle f(t), e^{jn\omega t} \rangle}{\langle e^{jn\omega t}, e^{jn\omega t} \rangle} = \frac{1}{T} \int_{t_0}^{t_0+T} f(t) e^{-jn\omega t} dt$$





周期矩形脉冲信号:

$$f(t) = E \left[ u\left(t + \frac{\tau}{2}\right) - u\left(t - \frac{\tau}{2}\right) \right], \quad -\frac{T}{2} \leq t \leq \frac{T}{2}$$





- 三角函数形式  $f(t) = a_0 + \sum_{n=1}^{\infty} a_n \cos n\omega t,$

$$a_0 = \frac{E\tau}{T}, \quad \Omega = n\omega$$

$$a_n = \frac{2}{T} \int_{-\frac{T}{2}}^{\frac{T}{2}} f(t) \cos n\omega t dt = \frac{2E\tau}{T} \text{Sa}\left(\frac{1}{2}n\omega\tau\right) = \frac{2E\tau}{T} \text{Sa}\left(\frac{1}{2}\Omega\tau\right)$$

$$a_n = |a_n| e^{j\phi_n}$$

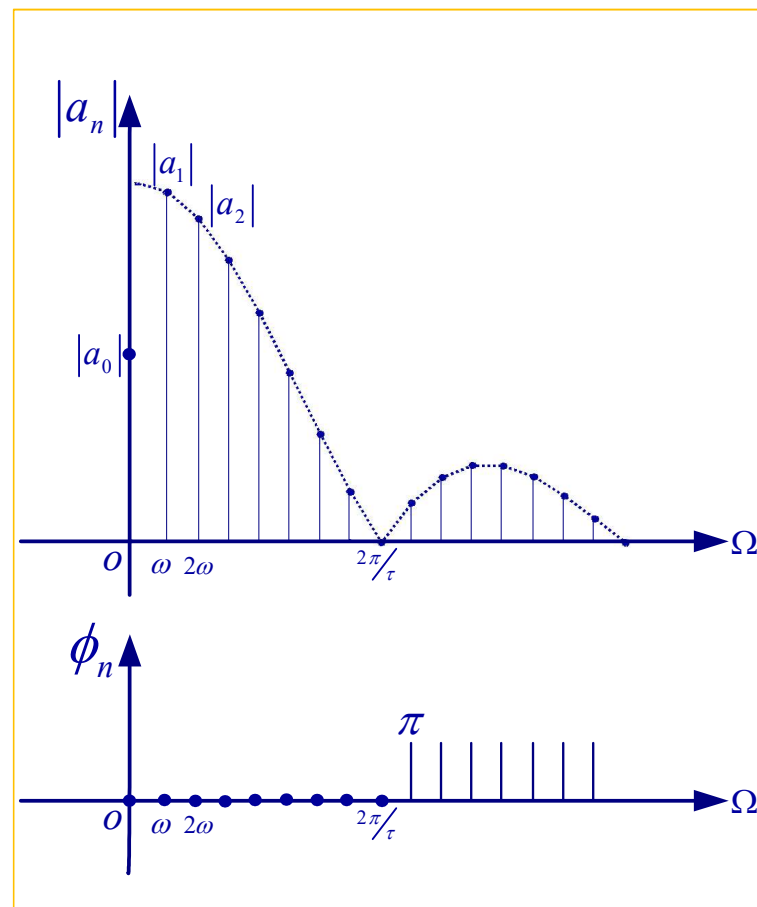
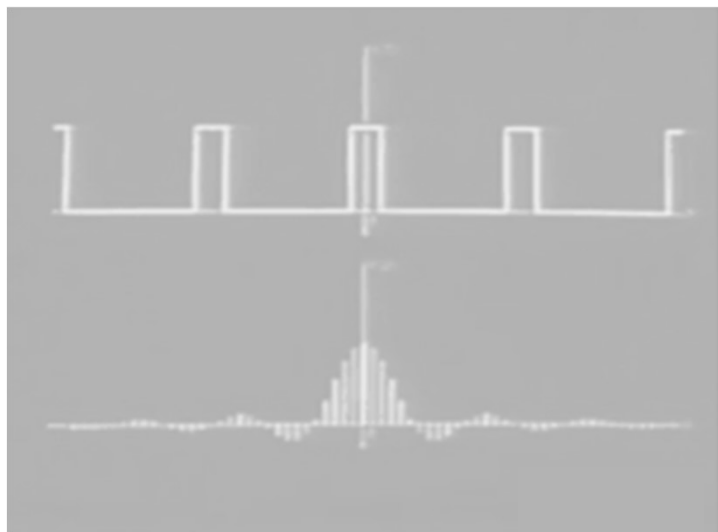
- 指数形式

$$f(t) = \sum_{n=-\infty}^{\infty} F_n e^{jn\omega t} \Rightarrow F_n = \frac{1}{T} \int_{-\frac{T}{2}}^{\frac{T}{2}} f(t) e^{-jn\omega t} dt = \frac{E\tau}{T} \text{Sa}\left(\frac{n\omega\tau}{2}\right) = \frac{E\tau}{T} \text{Sa}\left(\frac{\Omega\tau}{2}\right)$$





- ✓  $f(t)$ 的频谱为可列的无穷多条线谱
- ✓ 谱线间隔 $\omega = 2\pi/T$ ,  $T \uparrow$ ,  $\omega \downarrow$ , 谱分辨率提高
- ✓ 谱包络为  $\text{Sa}\left(\frac{1}{2}\Omega\tau\right)$ ,  $\tau \uparrow$ ,  $\Omega_0 \downarrow$



# 非周期信号的傅里叶变换

傅里叶正变换:

$$F(\omega) = \mathcal{F}\{f(t)\} = \int_{-\infty}^{\infty} f(t) e^{-j\omega t} dt$$

傅里叶反变换:

$$f(t) = \mathcal{F}^{-1}\{F(\omega)\} = \frac{1}{2\pi} \int_{-\infty}^{\infty} F(\omega) e^{j\omega t} d\omega = \int_{-\infty}^{\infty} F(\omega) e^{j\omega t} df$$

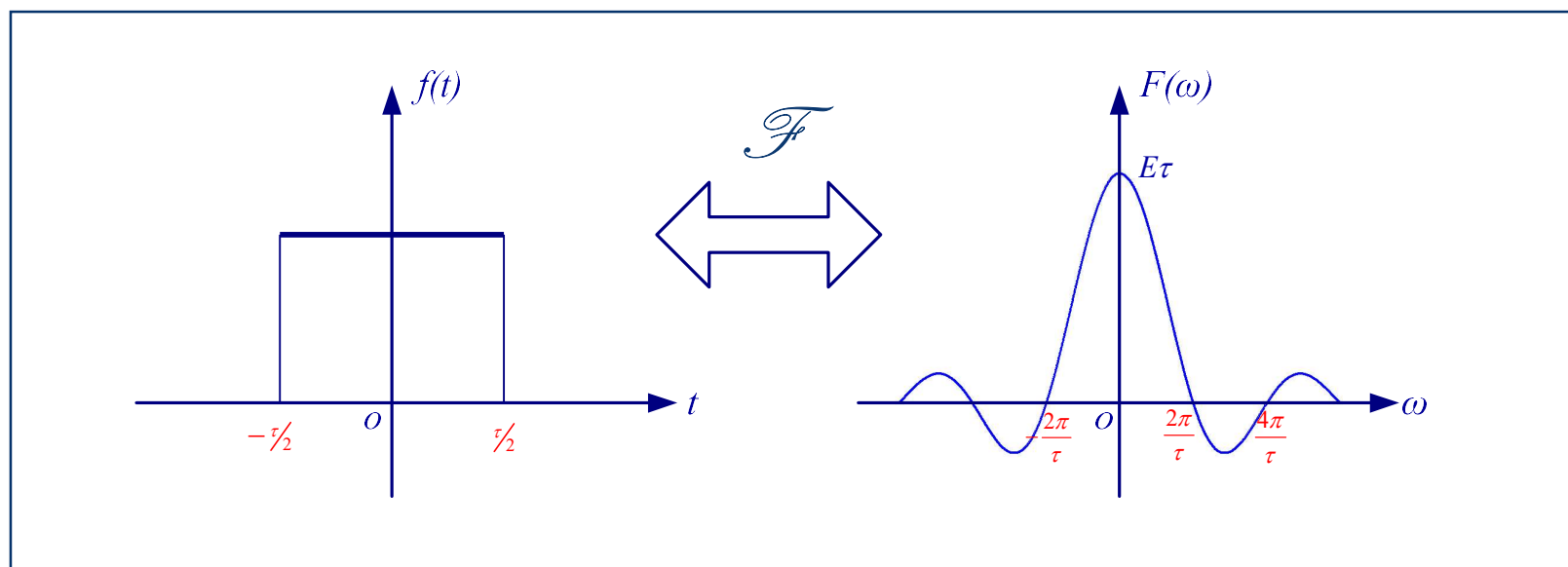
$F(\omega) = |F(\omega)| e^{j\phi(\omega)}$  为  $f(t)$  的 (频) 谱 (密度)

$|F(\omega)|$  为  $f(t)$  的幅度谱 (密度),  $\phi(\omega)$  为  $f(t)$  的相位谱 (密度)



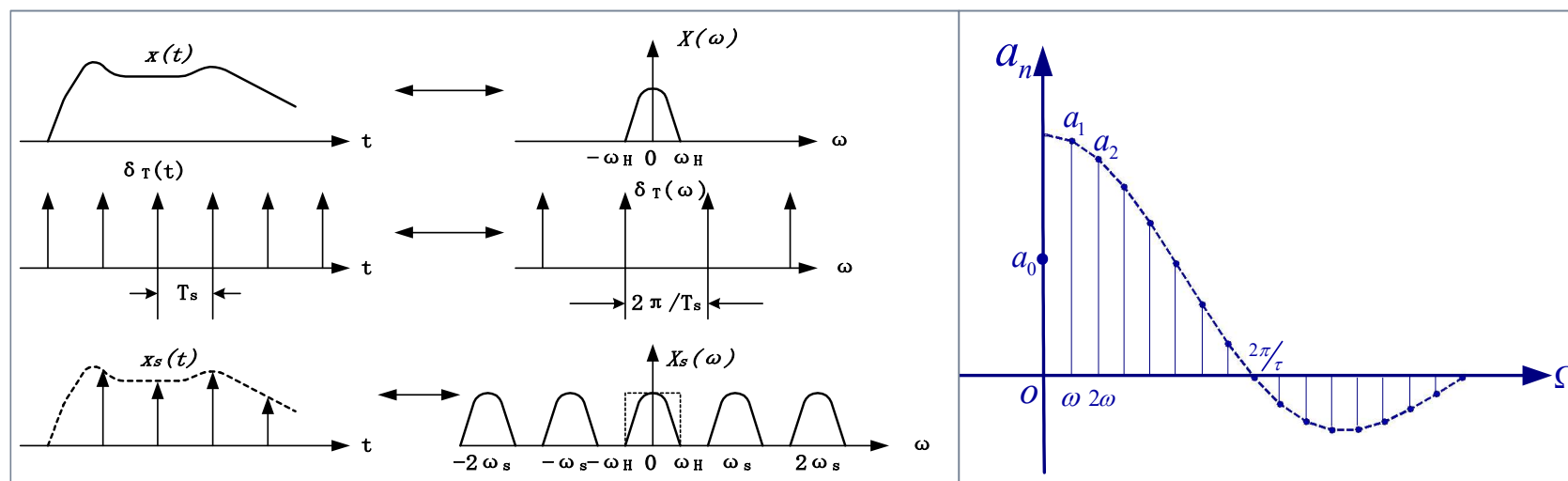


$$f(t) = E \left[ u\left(t + \frac{\tau}{2}\right) - u\left(t - \frac{\tau}{2}\right) \right] \xLeftrightarrow{\mathcal{F}} F(\omega) = E\tau \text{Sa}\left(\frac{\omega\tau}{2}\right)$$





# 周期信号的傅里叶变换



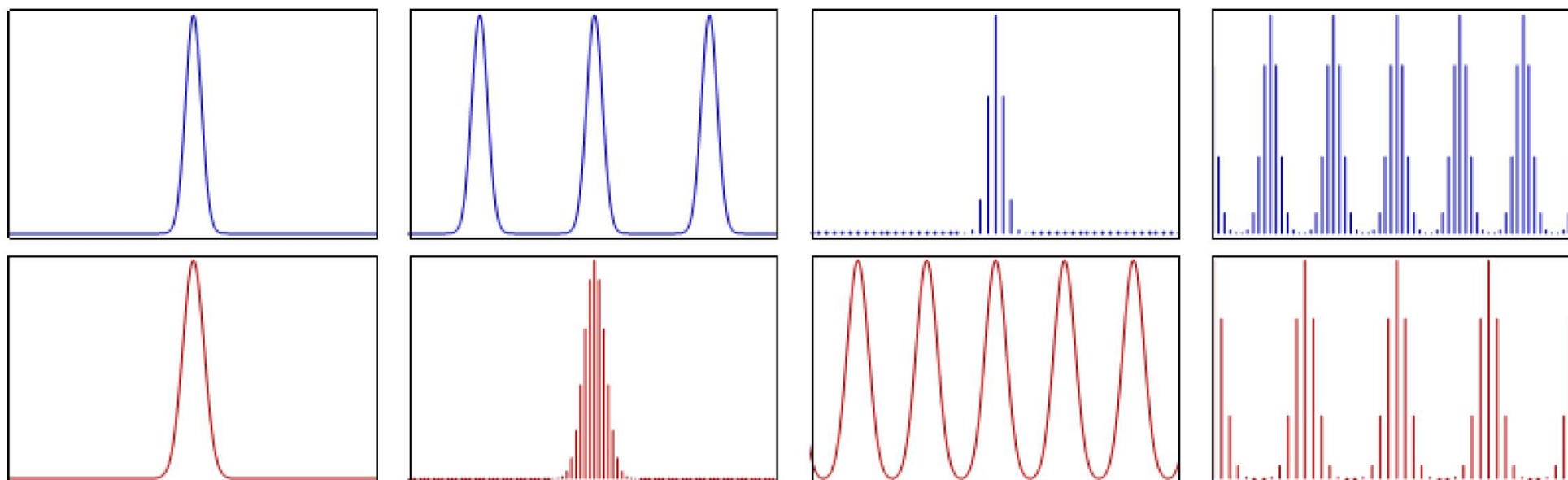
$$\text{有: } f(t) = \sum_{n=-\infty}^{\infty} F_n e^{jn\omega_0 t}, \quad F_n = \frac{1}{T_0} \int_{-T_0/2}^{T_0/2} f(t) e^{-jn\omega_0 t} dt$$

$$F(\omega) = \mathcal{F}\{f(t)\} = \sum_{n=-\infty}^{\infty} F_n \mathcal{F}\{e^{jn\omega_0 t}\} = 2\pi \sum_{n=-\infty}^{\infty} F_n \delta(\omega - n\omega_0)$$



# DFT

---



# 能量谱密度

---

- 信号波形的能量

$$E = \int_{-\infty}^{\infty} U(t)i(t)dt$$

- 归一化能量:电阻值 $1\Omega$
- 能量信号: 能量为有限值的信号

$$E = \int_{-\infty}^{\infty} f^2(t)dt = \frac{1}{2\pi} \int_{-\infty}^{\infty} |F(\omega)|^2 d\omega$$

- 能量谱密度:

$$E(\omega) = |F(\omega)|^2 \text{ 焦耳/赫兹}$$



# 功率谱密度

- 功率信号： 信号在 $(-\infty < t < +\infty)$ 内存在，具有无穷大能量，但平均功率为有限值。

- 功率谱密度：

$$W(\omega) = \lim_{T \rightarrow \infty} \frac{|F_T(\omega)|^2}{T} \text{瓦特/赫兹}$$

$$P = \lim_{T \rightarrow \infty} \left\{ \frac{1}{T} \int_{-T/2}^{T/2} f^2(t) dt \right\} = \frac{1}{2\pi} \int_{-\infty}^{\infty} \lim_{T \rightarrow \infty} \frac{|F_T(\omega)|^2}{T} d\omega$$



# 自相关函数

---

- 能量信号:

$$R(\tau) = \int_{-\infty}^{\infty} f(t) f(t + \tau) dt$$

- 功率信号

$$R(\tau) = \lim_{T \rightarrow \infty} \frac{1}{T} \int_{-T/2}^{T/2} f(t) f(t + \tau) dt$$



# 自相关函数性质

---

- 实函数的自相关函数是实偶函数，即 $R(-\tau)=R(\tau)$
- 维纳-辛钦：信号的自相关函数与其相应的能量谱密度/功率谱密度构成傅氏变换与反变换的关系。
- 信号的自相关函数在原点的值等于信号的能量/功率。
- 自相关函数的最大值出现在原点。







中国科学院大学

University of Chinese Academy of Sciences

1

信号和信号分析

2

信号的内积运算和正交分解

3

确知信号的频域分析

4

确知信号通过LTI系统

目录  
Contents

# 系统

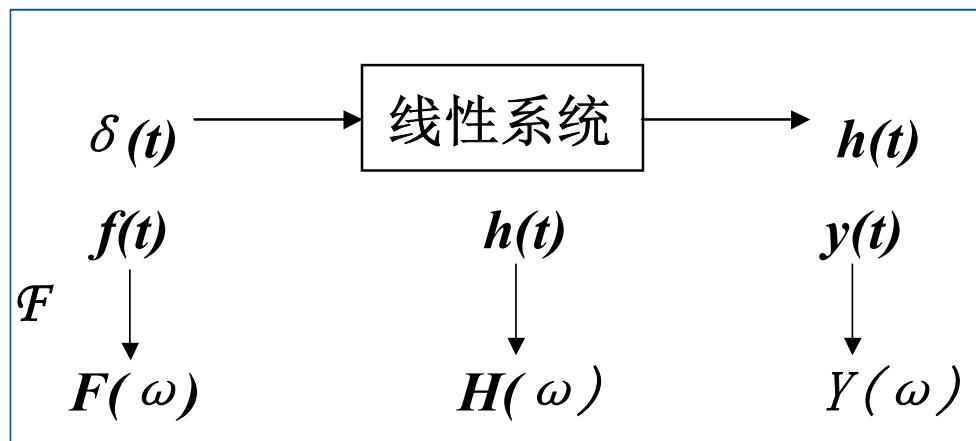
---

- **系统**：可看作产生信号变换的任何过程，是可以对各种物理量进行操作、约束、分析的实体
- 对于系统来说，基于物理原理/生物原理/数学原理，对多种物理量、物理量测量值进行约束和操作
  - ✓ 海洋，风速——洋流的关系
  - ✓ 电路来说——输入电压和输出电压的关系
  - ✓ 软件——输入向量和输出向量的关系



# LTI系统

- 系统特性: Linear; Time Invariant; Casual; BIBO stable
- LTI系统传递函数 $H(\omega)$ 和冲激响应 $h(t)$



$$\begin{aligned} y(t) &= \int_{-\infty}^{\infty} f(\tau)h(t-\tau)d\tau \\ &= \int_{-\infty}^{\infty} h(\tau)f(t-\tau)d\tau \\ &= h(t) * f(t) = f(t) * h(t) \end{aligned}$$

$$Y(\omega) = H(\omega)F(\omega)$$

方法: 把输入信号分解为多冲激的叠加形式



# LTI系统

- LTI系统对复信号 $e^{st}$ 的响应

$$e^{st} \longrightarrow \boxed{h(t)} \longrightarrow y(t)$$

$$y(t) = \int_{-\infty}^{\infty} h(\tau) e^{s(t-\tau)} d\tau = e^{st} \int_{-\infty}^{\infty} h(\tau) e^{-s\tau} d\tau = H(s) \cdot e^{st}$$

$$\text{其中 } H(s) = \int_{-\infty}^{\infty} h(\tau) e^{-s\tau} d\tau$$

表明：**LTI**系统对复指数信号仍是复指数信号，系统只改变了其幅度

$$\text{若 } x(t) = \sum_i a_i e^{s_i t} \rightarrow y(t) = \sum_i a_i H(s_i) e^{s_i t}$$

- $s=j\omega$ 时，复指数信号变成了正弦信号



# LTI系统输出响应的谱密度

- 能量信号:

$$E_i(\omega) = |F(\omega)|^2$$

$$E_o(\omega) = |Y(\omega)|^2 = |F(\omega) \cdot H(\omega)|^2 = |H(\omega)|^2 \cdot E_i(\omega)$$

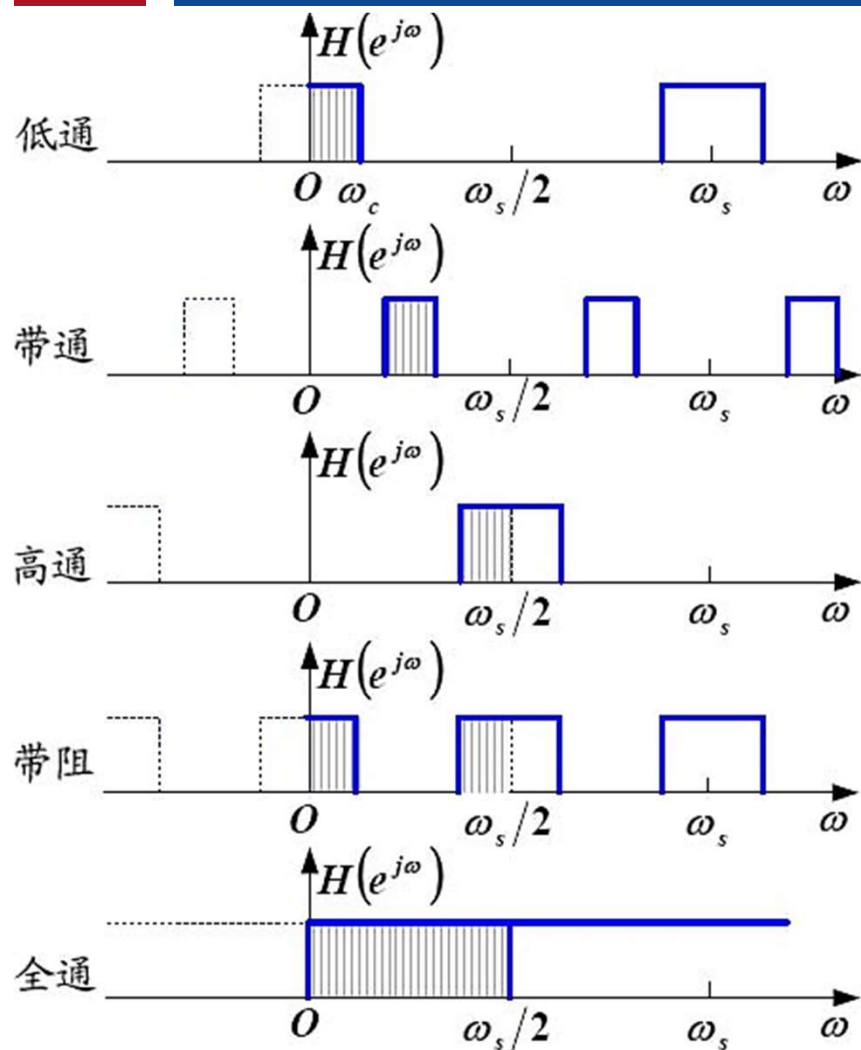
- 功率信号:

$$W_o(\omega) = \lim_{T \rightarrow \infty} \frac{|Y_T(\omega)|^2}{T} = \lim_{T \rightarrow \infty} \frac{|H(\omega)F_T(\omega)|^2}{T}$$

$$= |H(\omega)|^2 \cdot \lim_{T \rightarrow \infty} \frac{|F_T(\omega)|^2}{T} = |H(\omega)|^2 \cdot W_i(\omega)$$



# 滤波器

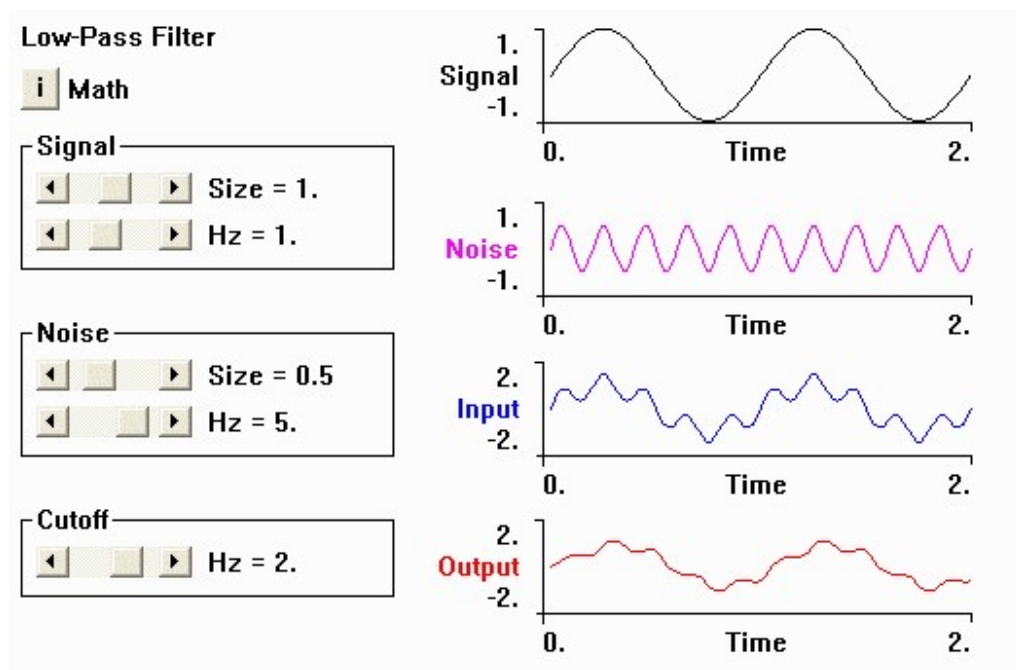


$$H(z) = \frac{\sum_{r=0}^M b_r z^{-r}}{1 + \sum_{k=1}^N a_k z^{-k}}$$



# 滤波器

## 狭义--频率选择滤波器



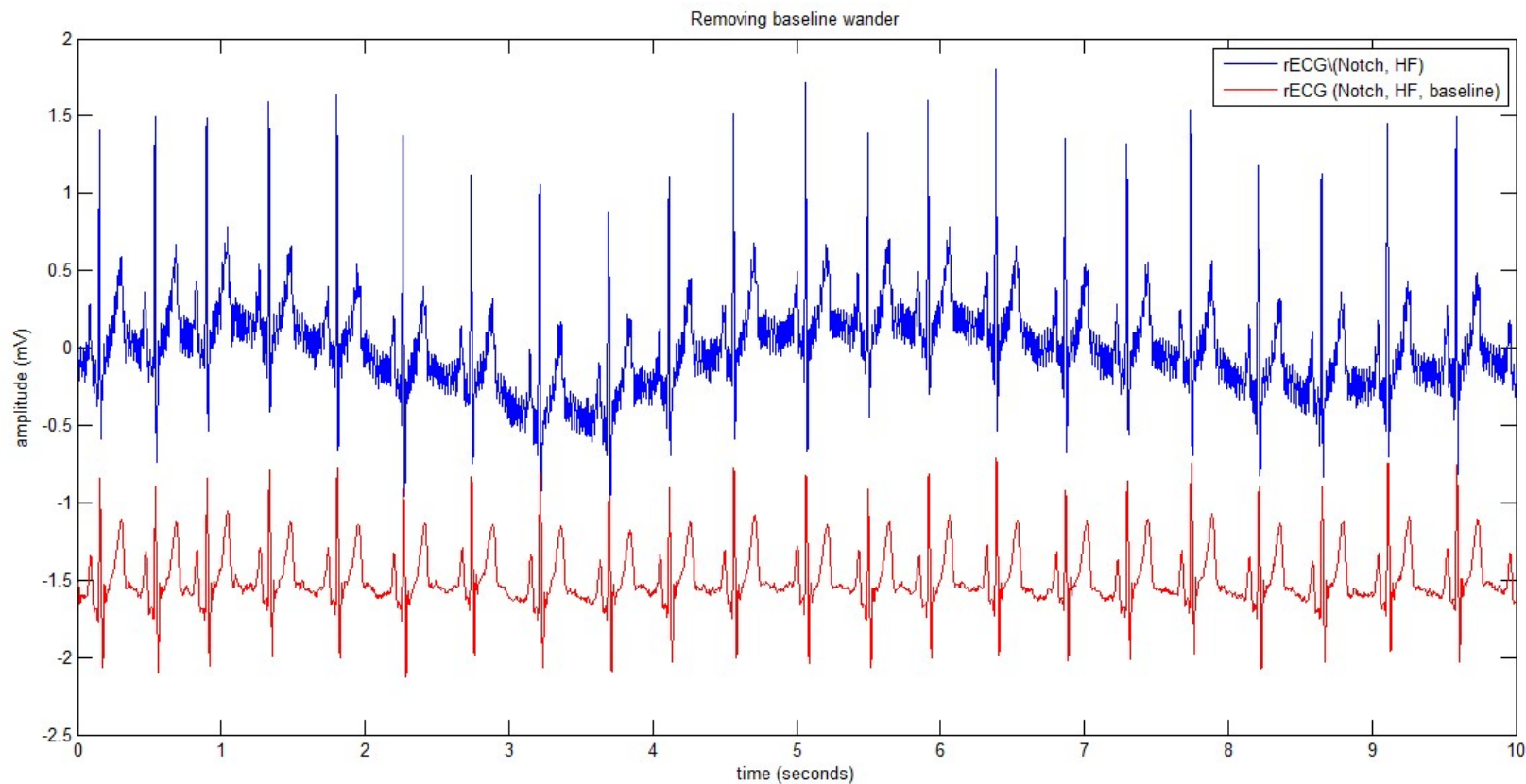
基于不同分量频率不同这一特性



中国科学院大学  
University of Chinese Academy of Sciences



# 频率选择



Q: 频带重合?



中国科学院大学  
University of Chinese Academy of Sciences

# 滤波器

滤波就是要改变输入信号的波形，去除不想要的分量：任何一种处理、系统，只要能达到这个目的都可以成为滤波

LTI系统只能对输入信号的频率成分进行衰减（和延迟），所以更具体的讲，是指“为了滤除或者衰减输入信号的某些频率成分的LTI系统”----所以是从频域角度出发的（已知的是频域的特性，转移函数）

操作（运算）：

加减，常系数，微分，积分

变量（信号）：

输入信号，输出信号



中国科学院大学  
University of Chinese Academy of Sciences



中国科学院大学  
University of Chinese Academy of Sciences

FIN